



## لایه‌نمانی نانوذرات کادمیوم تلوراید روی زیرلایه‌های رسانای شفاف به روش تبخیر حرارتی

مریم قلی‌زاده آرشتی<sup>\*</sup>، لیدا بابازاده حبشهی، منیر کمالیان، و ابراهیم حسنی

گروه فیزیک، واحد پادگار امام خمینی (ره) شهری، دانشگاه آزاد اسلامی، تهران، ایران

پست الکترونیکی: m.gholizadeh@iausr.ac.ir

(دریافت مقاله: ۱۴۰۰/۶/۱۳؛ دریافت نسخه نهایی: ۱۴۰۰/۴/۱۸)

### چکیده

نانوذرات کادمیوم تلوراید با روش تبخیر حرارتی در دمای زیرلایه  $200^{\circ}\text{C}$  و فشار  $2 \times 10^{-5} \text{ mbar}$  بر روی زیرلایه‌های شیشه‌ای که با لایه‌های نازک شفاف و رسانای اکسید ایندیم آلایده به قلع (ITO) و اکسید قلع آلایده شده با فلورین (FTO) پوشش داده شده است، لایه‌نمانی شد. ضخامت لایه‌های تهیه شده حدود  $200 \text{ nm}$  تعیین شد. ساختار، خواص اپتیکی، الکتریکی و ریخت‌شناسی سطح لایه‌ها به ترتیب توسط پراش پرتو ایکس (XRD)، طیف سنجی فرابنفش-مرئی (UV-Vis)، مشخصه‌یابی جریان-ولتاژ (I-V) و میکروسکوپ الکترونی روبشی (SEM) تحلیل شدند. طیف‌های XRD ساختار مکعبی لایه نازک کادمیوم تلوراید لایه‌نمانی شده بر روی هر دو زیرلایه ITO و FTO را نشان می‌دهند. جهت‌گیری ترجیحی فیلم‌های لایه‌نمانی شده نیز از راستای (111) برای زیرلایه ITO به (220) برای زیرلایه FTO تغییر کرد. اندازه بلوورینگی لایه‌ها روی ITO و FTO در این راستاها به ترتیب برابر با حدود  $22/41$  و  $34/84$  نانومتر به دست آمد. با استفاده از طیف سنجی UV-Vis در محدوده طول موج  $1200-200 \text{ nm}$  طیف‌های عبور از لایه‌های نازک مشخص شد. گاف انرژی اپتیکی لایه‌های نازک روی زیرلایه‌های ITO و FTO به ترتیب  $1/63 \text{ eV}$  و  $1/60 \text{ eV}$  محاسبه شد. منحنی I-V رسانایی الکتریکی بیشتر لایه نازک کادمیوم تلوراید بر روی FTO را در مقایسه با ITO نشان می‌دهد. تصاویر ریخت‌شناسی سطح، همگنی و یکنواختی سطح را نشان می‌دهد.

**واژه‌های کلیدی:** کادمیوم تلوراید، لایه‌نمانی تبخیر حرارتی، گاف انرژی، اندازه بلوورینگی، ضریب خاموشی

### ۱. مقدمه

نازک برخوردی دار است. علاوه بر خواص اپتیکی مطلوب کادمیوم تلوراید، ارزان بودن و تنوع در روش‌های ساخت آن، استفاده از پوشش‌های لایه نازک این ماده در ساخت وسایل الکترونیکی مانند اتصال‌های p-n در سلول‌های خورشیدی، آشکارسازها، نانوحسگرها، ترانزیستورها و فتوکاتالیستها و دیودهای نوری و

نیم‌رسانای کادمیوم تلوراید از عناصر گروه II-IV به دلیل داشتن گاف انرژی آرمانی ( $1/5 \text{ eV}$ ) و ضریب جذب بالا ( $> 10^5 \text{ cm}^{-1}$ ) از جایگاه ویژه‌ای در تحقیقات سال‌های اخیر در ساخت لایه‌های

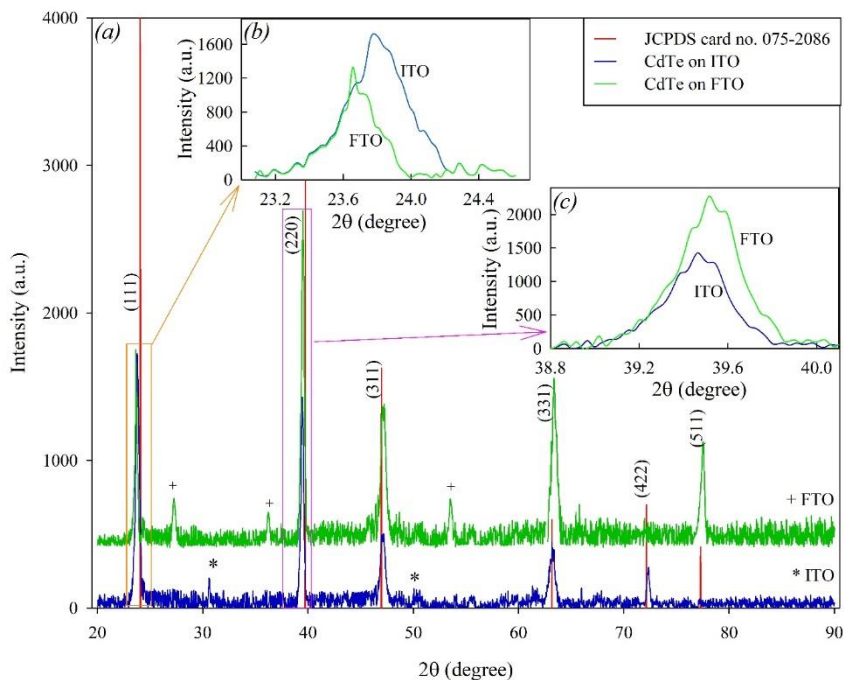
قرار می‌گيرد.

## ۲. روش تحقیق

در این کار از پودر CdTe با درصد خلوص ۹۹/۹۹ ساخت شرکت سیگما آلدريچ استفاده شد. شیشه‌های شفاف و رسانای ITO و FTO به ترتیب با ضخامت ۱ mm و ۳ mm مقاومت ۸ Ohm/sq و ۵ Ohm/sq به عنوان زیرلایه در این کار استفاده شدند. قبل از انجام لایه‌نشانی، مراحل آماده‌سازی شامل تمیز کردن زیرلایه‌ها با استون، محلول آب صابون و آب مقطر به مدت ۱۰ دقیقه و تنظیم ولتاژ دستگاه برای ایجاد خلاً در محفظه حدود ۴ ساعت به طول انجامید. در فرایند لایه‌نشانی با روش تبخیر حرارتی، نانوذرات کادمیوم تلواید روی بوته مسطح قایقی شکل از جنس مولیبدن قرار داده شدند و فرایند در فشار  $2 \times 10^{-5}$  mbar و دمای  $200^{\circ}\text{C}$  به مدت ۳۰ دقیقه انجام شد. برای انتقال کادمیوم تلواید تبخیر شده به طرف زیرلایه‌ها جریان الکتریکی اعمال شده در حدود  $100\text{ A}\text{mp}$ ، آهنگ لایه-نشانی  $1/8\text{ \AA/s}$  و توان دوسر بورت  $W = 1000$  اعمال شد. ضخامت لایه‌ها توسط نمایشگر کریستالی کوارتز که درست زیر نگهدارنده زیرلایه قرار دارد در طول فرایند لایه‌نشانی کنترل شد. همچنین پس از لایه نشانی، ضخامت لایه‌های تهیه شده به وسیله دستگاه تداخل سنج نوری تعیین شد.

ساختار لایه‌های نازک کادمیوم تلواید با استفاده از طیف‌های به دست آمده از پراش سنج پرتو ایکس (XRD) (مدل X'Pert PRO MPD ساخت شرکت PANalytical هلند) با تابش مس در طول موج  $\text{\AA} = 1/54060$  و رنج  $20^{\circ}$  درجه تا  $90^{\circ}$  درجه با اندازه گام  $\text{min}^{-1} = 0/026^{\circ}$  بررسی شد. طیف‌های عبور نور از لایه‌های نازک کادمیوم تلواید روی زیرلایه‌ها با استفاده از طیف‌سنج فرابنفش- مرئی (UV-Vis) (مدل لامبدا ۲۵، ساخت شرکت پارکین الم مخصوص آمریکا) در محدوده طول موجی  $nm = 1200 - 200$  در دمای اتاق تهیه شدند. خواص الکتریکی لایه‌ها با رسم منحنی جریان- ولتاژ که از مشخصه‌یاب الکتریکی I-V (الکترومتر مدل ۶۵۱۷b ساخت شرکت کیتلی آمریکا) به دست آمد، مطالعه شد. تصاویر ریخت‌شناسی سطح

غیره رونق چشمگیری یافته است [۱-۸]. تلاش برای افزایش بازده سلول‌های خورشیدی نیمه هادی از طریق لایه‌نشانی نانوذرات کادمیوم تلواید روی زیرلایه‌های مناسب به روش‌های مختلف همچنان ادامه دارد. از جمله روش‌های لایه‌نشانی نانوذرات کادمیوم تلواید می‌توان روش‌های سل-ژل، تبخیر حرارتی، کندوپاش [۹]، لیزری پالسی [۱۰]، رسوب‌دهی چرخشی [۱۱]، تبخیر باریکه الکترونی [۱۲] را نام برد. تبخیر حرارتی یکی از مؤثرترین روش‌های لایه‌نشانی برای رشد لایه‌های نازک با کیفیت بالا روی زیرلایه است. در این روش ذرات تبخیر شده با سرعت بالا و در مسیر مستقیم منتشر شده و به زیرلایه می‌رسد و بنابراین اتلاف ذرات و همچنین احتمال تشکیل اکسید ماده روی زیرلایه به حداقل می‌رسد [۱۳]. استفاده از زیرلایه‌های مناسب یکی از عوامل بهبود خواص فیزیکی و اپتیکی لایه‌های نازک کادمیوم تلواید است. دستگاه‌های فتوولتائیک سنتی روی زیرلایه شیشه ساخته شدند که به دلیل داشتن بازدهی پایین و محدودیت‌های زیاد در افزایش آن، در سال‌های اخیر جایگاه خود را به زیرلایه‌های رسانای شفاف از اکسید مواد (TCO) مانند FTO، اکسید روی آلایید شده با آلمونیوم (AZO) و اکسید روی آلایید شده با ایندیوم (IZO) دادند که شفافیت بیش از  $80\%$  دارند [۱۴]. در پیکربندی سلول‌های خورشیدی، زیرلایه‌های TCO معمولاً به عنوان اتصال جلوبی با کادمیوم سولفید (CdS) مورد استفاده قرار می‌گیرند و خواص لایه نازک کادمیوم سولفید روی انواع لایه‌های TCO در کارهای قبلی مطالعه شد [۱۵]. تایواری و همکارانش در سال  $2003$  برای اولین بار از این زیرلایه‌ها در اتصال مستقیم با کادمیوم تلواید استفاده کردند و بازده سلول خورشیدی را حدود  $7/9\%$  به دست آوردند [۱۶]. در این کار، به منظور بررسی تأثیر خواص زیرلایه‌های TCO روی خواص فیزیکی و اپتیکی لایه نازک کادمیوم تلواید، نانوذرات کادمیوم تلواید با روش تبخیر حرارتی بر روی زیرلایه‌های شیشه‌ای رسانای ITO و FTO لایه‌نشانی شد. در این روش که در محیط خلاً انجام می‌شود به کمک اعمال جریان الکتریکی ماده تبخیر شده و به دلیل اختلاف فشار بین محل کادمیوم تلواید و زیرلایه‌ها، بر روی زیرلایه‌ها که مقاومت حرارتی بالای دارند



شکل ۱. (a) الگوی پراش XRD لایه‌های کادمیوم تلواید لایه‌نشانی شده بر روی زیرلایه‌های ITO و FTO (برای وضوح طیفها، ارتفاع طیف به اندازه ۴۲۰ واحد انتقال داده شد)، (b) الگوهای پراش برای جهت‌گیری (۱۱۱) و (c) الگوهای پراش برای جهت‌گیری (۲۲۰) FTO.

(۲۲۰) است. همان گونه که مشاهده می‌شود با تغییر زیرلایه‌ها، جهت‌گیری ترجیحی لایه‌های رشد یافته از (۱۱۱) به (۲۲۰) تغییر می‌کند که می‌تواند به علت یکی از این دلایل باشد: (۱) ساختار ستونی و رسانایی بیشتر FTO در مقایسه با ITO [۱۷]، (۲) طبیعت ساختاری زیرلایه‌ها (FTO ساختار چهار وجهی دارد در حالی که ساختار مکعبی ITO گزارش شده است) [۱۸]، (۳) عدم تفاوت در میزان تحرک و غلظت حامل‌های بار [۱۹] و (۴) عدم تطابق شبکه لایه کادمیوم تلواید با زیرلایه‌ها [۲۰]. ارتفاع قله اصلی لایه روی FTO بیشتر از ITO است که نشان‌دهنده بلورینگی بیشتر لایه‌های انباست شده روی FTO است. الگوهای پراش لایه‌های انباست شده روی زیرلایه ITO، وجود قله‌های دیگری را در موقعیت‌های زاویه‌ای در  $39/46^\circ$ ،  $63/17^\circ$  و  $72/36^\circ$ ،  $47/19^\circ$ ،  $22/20^\circ$ ،  $(311)$  و  $(331)$  جهت‌گیری‌های مشابه در الگوهای پراش لایه‌های کادمیوم تلواید که روی زیرلایه FTO لایه‌نشانی شدند، قله‌هایی در موقعیت‌های زاویه‌ای  $23/66^\circ$ ،  $47/23^\circ$ ،  $63/37^\circ$  و  $77/56^\circ$  دیده می‌شوند

لایه نازک نیز با استفاده از میکروسکوپ الکترونی روبیشی نشر میدانی (FE-SEM) (مدل MIRA3، ساخت شرکت TE-SCAN چک) به دست آمده است.

### ۳. یافته‌ها و بحث

#### ۳.۱. مطالعه ساختاری

طیف‌های XRD لایه‌های نازک کادمیوم تلواید با استفاده از نرم‌افزار دقیق Pert High Score X' Pert High Score تحلیل شده و با تطابق نتایج به دست آمده با الگوی پراش مرجع ICCD فازهای ترکیب مشخص شدند. شکل ۱، الگوی پراش پرتو ایکس لایه نازک کادمیوم تلواید روی هر دو زیرلایه را نشان می‌دهد. الگوهای پراش در هر دو طیف ساختار مکعبی لایه‌های نازک کادمیوم تلواید را نشان می‌دهند. قله اصلی پراش لایه‌های رشد یافته روی زیرلایه ITO در  $23/78^\circ = 20$  قرار دارد که مطابق با جهت‌گیری ترجیحی (۱۱۱) است، در حالی که موقعیت زاویه‌ای قله اصلی پراش لایه‌های رشد یافته روی زیرلایه FTO در  $20 = 51/39^\circ$  قرار دارد که مطابق با جهت‌گیری ترجیحی

جدول ۱. نتایج حاصل از تحلیل الگوی XRD لایه نازک کادمیوم تلواید.

	ضریب بافت (Å)	پارامتر شبکه ( $\times 10^{14} \text{ m}^{-2}$ )	چگالی نابهجهایی ( $\times 10^{-3}$ )	میکروتنش (nm)	اندازه بلورینگی ( $2\theta$ )	زاویه زیرلایه
۱/۷۳۱	۶/۴۶۸	۱۹/۳	۹/۷	۲۲/۷۳	۲۳/۷۸	
۱/۲۱۴	۶/۴۶۱	۲۱/۳	۱۰/۴	۲۱/۶۴	۳۹/۴۶	
۰/۸۷۱	۶/۴۵۵	۲۸/۱	۱۳/۴	۱۸/۸۶	۴۷/۱۹	ITO
۰/۸۱۱	۶/۴۳۹	۲۴/۷	۱۲/۳	۲۰/۱۱	۶۳/۱۷	
۰/۷۰۱	۶/۴۴۸	۲۵/۹	۱۲/۵	۱۹/۶۳	۷۲/۳۶	
۰/۹۰۳	۶/۴۷۱	۲۱/۷	۱۰/۷	۲۱/۴۸	۲۳/۶۶	
۱/۹۳۶	۶/۴۶۵	۸/۲	۷/۹	۳۴/۸۴	۳۹/۵۱	
۱/۱۰۱	۶/۴۶۰	۱۷/۱	۹/۱	۲۴/۱۸	۴۷/۲۲	FTO
۱/۳۷۷	۶/۴۵۸	۲۲/۸	۱۱/۶	۲۰/۹۳	۶۳/۳۷	
۰/۹۲۲	۶/۴۲۱	۲۲/۶	۱۱/۴	۲۱/۰۳	۷۷/۱۶	

است.  $\theta$  زاویه برآگ،  $I(hkl)$  شدت اندازه‌گیری شده هر قله و  $I_0(hkl)$  شدت مرجع همان قله در JCPDS و  $N$  تعداد قله‌های مشاهده شده است. نتایج حاصل از تحلیل XRD در جدول ۱، آورده شده است. پارامتر شبکه به دست آمده برای لایه‌های نازک کادمیوم تلواید روی هر دو زیر لایه کمتر از مقدار آن برای توده نانوذرات کادمیوم تلواید ( $6/481 \text{ \AA}$ ) است که بیانگر تنش کششی ایجاد شده در اثر عدم تطابق شبکه‌های نانو ذرات کادمیوم تلواید و زیرلایه‌ها است. همان گونه که در جدول ۱، مشخص شده است اندازه بلورک‌هایی که روی FTO رشد کرده‌اند بیشتر از ITO است که نتیجه کاهش FWHM است و علت آن کاهش کمبود شبکه و میکروتنش است که نشان‌دهنده بلوری بودن خوب لایه نازک است [۱۵]. کیفیت جهت‌گیری در صفحات مختلف را می‌توان از ضریب بافت (معادله ۵) تعیین کرد. مقادیر ضریب بافت بالاتر از ۱ نشان‌دهنده تمایل لایه‌ها برای جهت‌گیری ترجیحی در آن صفحه است. همان گونه که مشاهده می‌شود بیشترین ضریب بافت برای لایه‌های رشد یافته روی زیرلایه‌های ITO و FTO به ترتیب در صفحات (۱۱۱) و (۲۲۰) است و بنابراین جهت‌گیری ترجیحی در الگوی XRD لایه‌ها را تأیید می‌کند.

که به ترتیب مطابق با جهت‌گیری‌های (۲۲۰)، (۳۱۱)، (۳۳۱) و (۵۱۱) هستند. الگوهای XRD به دست آمده از لایه‌های انباشت شده روی هردو زیرلایه، تشکیل نشدن لایه‌های اکسیدی را تأیید می‌کند. نتایج الگوی پراش به دست آمده با کارت مرجع JCPDS به شماره ۷۵-۲۰۸۶ مطابقت دارد.

با استفاده از ضرایب میلر ( $hkl$ ), پارامتر شبکه (a) ساختار کربیستالی از رابطه زیر محاسبه می‌شود [۲۱]:

$$(1) \quad a = d_{hkl} \sqrt{h^2 + k^2 + l^2},$$

پارامترهای ساختاری مانند ابعاد نانو بلورک‌ها D، میکروتنش  $\epsilon$ ، چگالی نابهجهایی  $\delta$  و ضریب بافت  $T_c$  لایه به ترتیب از روابط دبای-شرر، هال، ویلیامسون-اسمالمن و هریس به دست آورده شدند [۲۲-۲۵].

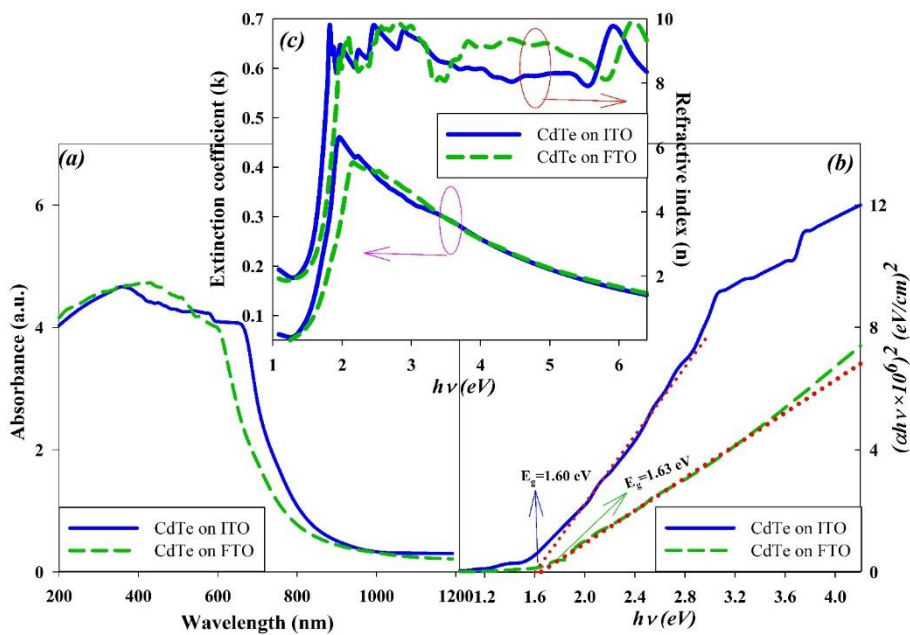
$$(2) \quad D = \left( \frac{0/94\lambda}{w \cos \theta} \right),$$

$$(3) \quad w \cos \theta = \epsilon \sin \theta + \frac{\lambda}{D},$$

$$(4) \quad \delta = \left( \frac{1}{D} \right),$$

$$(5) \quad T_c(hkl) = \frac{I(hkl)/I_0(hkl)}{\frac{1}{N} \sum_N I(hkl)/I_0(hkl)},$$

که در آن  $w$  پهنای پرتو در نصف شدت بیشینه (FWHM) قله



شکل ۲. (a) طیف اپتیکی جذب از لایه نازک کادمیوم تلواید روی زیرلایه‌های ITO و FTO. (b) نمودار تاک بر حسب انرژی فوتون فروdi و (c) نمودار تغییرات ضریب خاموشی و شکست سطح لایه‌ها بر حسب انرژی فوتون.

$$(\alpha h\nu)^n = C(h\nu - E_g), \quad (7)$$

که در آن  $E_g$  گاف انرژی اپتیکی لایه نازک است. C یک مقدار ثابت است که به تحرک بارها بستگی دارد و مقدار آن بین  $10^7$  و  $10^{10}$  برای لایه‌هایی با گاف انرژی مستقیم برابر با است. مقدار گاف انرژی برای لایه‌های نازک رشد یافته روی زیرلایه‌های ITO و FTO به ترتیب برابر با  $1.60$  eV و  $1.63$  eV است. بدست آمد که با گزارش‌های قبلی مطابقت دارد [۲۹]. گاف انرژی لایه نازک کادمیوم تلواید رشد یافته روی هر دو زیرلایه بیشتر از مقدار متداول آن ( $1/5$  eV) است که نشان می‌دهد زیرلایه‌های رسانا در افزایش گاف انرژی مؤثرند. همچنین لایه‌های انباسته روی زیرلایه FTO بیشتر از ITO است که می‌توان آن را به بالاتر بودن میزان انتقال الکترون در زیرلایه FTO مرتبط کرد [۳۰]. ضریب خاموشی ( $k$ ) و ضریب شکست ( $n$ ) لایه‌ها از روابط زیر به دست آمده [۳۱] و در شکل ۲. c بر حسب انرژی فوتون رسم شده‌اند.

$$k = \frac{\alpha \lambda}{4\pi}, \quad (8)$$

$$n = \left[ \left( 1 + R \right) + \left( \left( 1 + R \right)^2 - \left( 1 - R \right)^2 \right) \left( 1 + k^2 \right) \right]^{1/2} / \left( 1 - R \right), \quad (9)$$

### ۲.۳. مطالعه خواص اپتیکی

طیف جذب نور از لایه‌های نازک رشدیافته کادمیوم تلواید بر روی زیرلایه‌های ITO و FTO با استفاده از طیفسنج نوری فرابنفش-مرئی در بازه طول موج  $1200$ - $200$  nm در دمای اتاق تهیه شده و در شکل ۲. a نشان داده شده است. مقدار جذب (A) از لگاریتم نسبت نور فروdi ( $I_0$ ) به لایه نازک به نور عبوری ( $I$ ) از آن لایه به دست می‌آید. همان گونه که مشاهده می‌شود مقدار جذب در ناحیه مرئی زیاد است که نشان‌دهنده جاذب بودن لایه نازک کادمیوم تلواید است ولی در ناحیه فرو قرمز با افزایش طول موج مقدار جذب کاهش می‌یابد و شفاف بودن این ماده را در ناحیه فرو قرمز تأیید می‌کند [۲۶]. ضریب جذب (a) با استفاده از قانون بیر-لامبرت-بوگوه محاسبه می‌شود [۲۷]:

$$\alpha = \frac{2 / 303 A}{d}, \quad (6)$$

که در آن d ضخامت لایه‌ها است. گاف انرژی لایه نازک کادمیوم تلواید از برونیابی خطی نمودار تاک (Tauc) که با استفاده از معادله زیر رسم شده است (شکل ۲. b) محاسبه شد [۲۸].

جدول ۲. برخی از پارامترهای اپتیکی و الکتریکی لایه نازک کادمیوم تلوراید در طول موج ۸۰۰ nm

زیرلایه	گاف انرژی (eV)	ضریب خاموشی	ضریب شکست	مقاومت ویژه ( $\times 10^4 \Omega \text{ cm}$ )
ITO	۱/۶۰	۰/۱۱۸	۲/۸۹۷	۳/۷۸۶
FTO	۱/۶۳	۰/۰۸۹	۲/۳۷۶	۱/۶۰۶

است و نشان می‌دهد رسانایی الکتریکی این لایه در مقایسه با لایه انباسته شده روی ITO بیشتر است. چاندر و همکارانش رفتار مشابهی را برای لایه‌های رشد یافته کادمیوم سولفید (CdS) مشاهده کرده [۱۵] و دلیل آن را شکسته شدن پیوندهای کووالانسی در لایه‌های کادمیوم سولفید در اثر انرژی فوتون فروندی بیان کرده اند که منجر به تشکیل زوج الکترون-حفره آزاد برای رسانندگی الکتریکی می‌شود. مطالعات قبلی تأیید می‌کنند که خواص الکتریکی لایه‌های پلی‌کریستال متفاوت از لایه‌های تک‌کریستال است که می‌تواند به مسدود شدن مسیر جریان الکتریکی، در اثر ایجاد موانع پتانسیل حامل‌های بار در مرز دانه‌ها نسبت داده شود [۳۵].

### ۴. ریخت‌شناسی سطح

شکل ۴ تصویری از ریخت‌شناسی سطح لایه نازک کادمیوم تلوراید روی زیرلایه‌های ITO و FTO به دست آمده از میکروسکوپ الکترونی روبشی نشر میدانی (FE-SEM) را نشان می‌دهد. برای آماده‌سازی لایه نازک برای انجام تصویر برداری، سطح لایه کاملاً تمیز شده و به دلیل آن که لایه‌ها رسانایی زیادی ندارند، برای استفاده در میکروسکوپ الکترونی روبشی SEM با طلا پوشش داده شد. میکروگراف‌های با وضوح بالای نشان می‌دهند که توزیع ذرات کادمیوم تلوراید لایه نشانی شده روی زیرلایه‌ها یکنواخت بوده و سطح لایه‌ها فاقد هرگونه نقصی از جمله ترک‌خوردگی، حفره و غیره است. همچنین این نانوذرات به شکل دایره‌ایی با قطرهای کمتر از ۵۰ نانومتر هستند بنابراین فاصله بین نانوذرات کم بوده و جذب نور در ناحیه فرابخش و مرئی از لایه افزایش می‌یابد. از طرف دیگر، در تصاویر نقاط سفیدی دیده می‌شود که بیانگر وجود دو نوع ذره با جهت‌گیری ترجیحی متفاوت (۱۱۱) و (۲۲۰) است [۳۶].

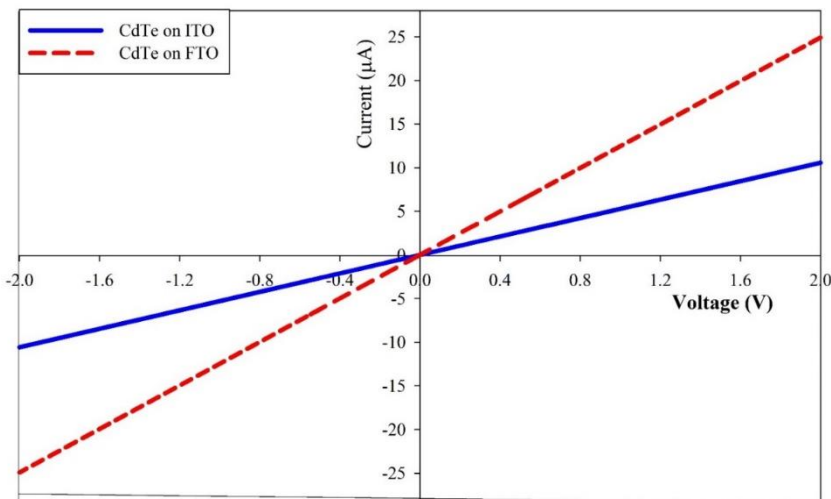
که در آن  $\lambda$  طول موج و  $R$  ضریب بازتاب از سطح لایه نازک است که از رابطه زیر محاسبه می‌شود [۳۲]:

$$(10) R = 1 - (T / \exp(-A))^{\theta},$$

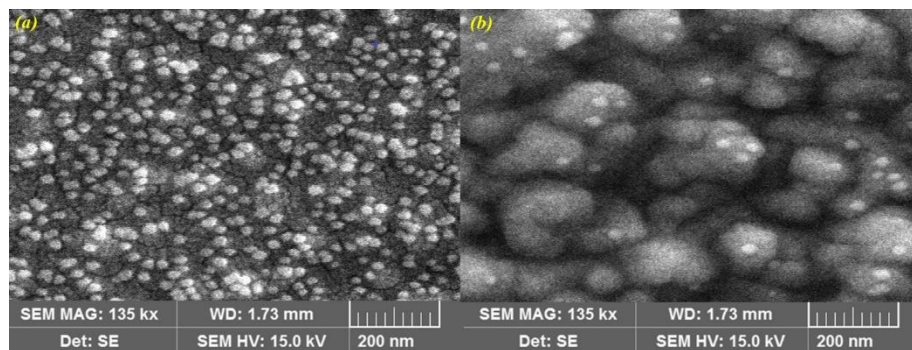
تعیین ضریب خاموشی لایه‌ها برای محاسبه غلظت نانوذرات مهم است. برخلاف برخی گزارش‌های قبلی بر عدم وابستگی ضریب خاموشی به اندازه ذرات، ویلیام و همکارانش وابستگی ضریب خاموشی را به اندازه ذرات نشان دادند [۳۳]. بنابراین افزایش ضریب خاموشی لایه‌ای رشد یافته بر هردو زیرلایه، با افزایش انرژی فوتون تا حدود گاف انرژی لایه افزایش و سپس کاهش می‌یابد که می‌تواند ناشی از کوچک شدن اندازه ذرات انباسته شده روی زیرلایه‌ها باشد. ضریب شکست لایه‌ها نیز با افزایش انرژی فوتون افزایش می‌یابد که ممکن است به دلیل تطابق بسامد تابش الکترومغناطیسی و الکترون‌ها در ماده باشد [۳۴]. نتایج حاصل از بررسی خواص اپتیکی لایه نازک کادمیوم تلوراید در جدول ۲، فهرست شده است.

### ۳. مطالعه خواص الکتریکی

مقاومت الکتریکی لایه‌های نازک کادمیوم تلوراید به روش چهار اتصالی اندازه‌گیری شد و فاصله بین چهار پربوب از یکدیگر حدود ۲ mm است. مقاومت الکتریکی لایه‌های رشد یافته روی زیرلایه‌های ITO و FTO (پس از حذف مقادیر مربوط به خود زیرلایه) به ترتیب برابر با  $3/786 \times 10^4 \Omega \text{ cm}$  و  $1/606 \times 10^4 \Omega \text{ cm}$  به دست آمد که در جدول ۲، نشان می‌دهد که است. منحنی I-V رسم شده در شکل ۳، نشان می‌دهد که جریان الکتریکی در لایه‌های رشد یافته یک تابع خطی بر حسب ولتاژ است. جریان الکتریکی در لایه نازک انباسته شده روی زیرلایه FTO بیشتر از ITO است که ناشی از رشد بیشتر دانه‌ها و کاهش مرز دانه‌ها در لایه نازک انباسته شده روی



شکل ۳. منحنی جریان-ولتاژ لایه‌های نازک کادمیوم تلواید روی زیرلایه‌های ITO و FTO.



شکل ۴. تصاویر میکروسکوپ الکترونی رویشی نشر میدانی برای لایه‌های نازک کادمیوم تلواید روی زیرلایه (a) ITO و (b) FTO

تبخیر حرارتی است. کاهش پارامتر شبکه لایه‌های رشد یافته در مقایسه با توده نانوذرات نشان‌دهنده عدم تطابق لایه کادمیوم تلواید با زیرلایه‌هاست که منجر به ایجاد تنفس کششی شده و همچنین یکی از عوامل تغییر جهت‌گیری ترجیحی لایه‌ها از (۱۱۱) به (۲۲۰) است. خواص اپتیکی لایه‌های تهیه شده نشان می‌دهد لایه رشد یافته روی زیرلایه FTO در مقایسه با ITO، میزان جذب بالاتری در ناحیه فرابنفش-مرئی دارد و همچنین افزایش میزان انتقال الکترون در زیرلایه FTO نسبت به ITO گاف انرژی بالاتری را نتیجه می‌دهد و تطابق خوبی با مطالعات قبلی دارد. کوچک بودن ابعاد نانوبلورک‌ها رفتار دوگانه‌ای را برای ضریب خاموشی لایه‌ها نزدیک گاف انرژی نتیجه می‌دهد. منحنی جریان-ولتاژ رفتار اهمی خطی را برای هر دو زیرلایه نشان می‌دهد و کاهش مقاومت الکتریکی لایه‌های رشد یافته

و کاهش تعداد این نقاط سفید در شکل ۴. b تغییر جهت‌گیری ترجیحی لایه نازک کادمیوم رشدیافته روی FTO را تأیید می‌کند

#### ۴. نتیجه‌گیری

پارامترهای ساختاری لایه‌های نازک کادمیوم تلواید روی زیرلایه‌های ITO و FTO مانند ابعاد نانوبلورک‌ها (D)، میکروتنش (ε)، چگالی نابهنجایی (δ) و پارامتر شبکه (a) توسط الگوهای حاصل از پراش پرتو ایکس محاسبه شد. نتایج به دست آمده از رابطه شرر، اندازه بلورینگی برای تمام جهت-گیری‌های لایه‌های رشدیافته روی هر دو زیرلایه را در رنج ۱۸ تا ۳۵ نانومتر نشان می‌دهد که تأییدی بر ساخت لایه‌های نازک با اندازه بلورینگی کوچک با استفاده از لایه‌نشانی به روش

(۲۲۰) نتایج حاصل از XRD را تأیید می‌کند. نتایج به دست آمده در این کار استفاده از لایه‌های رسانای شفاف مخصوصاً FTO را به عنوان زیر لایه در تهیه لایه‌های نازک برای کاربردهای مختلفی از جمله ساخت دستگاه‌های الکتروپتیکی مانند سلول‌های خورشیدی پیشنهاد می‌دهد.

روی زیرلایه FTO در مقایسه با ITO منجر به تغییر خواص ساختاری مانند جهت‌گیری ترجیحی و خواص اپتیکی مانند افزایش گاف انرژی می‌شود. تصاویر میکروسکوپ الکترونی رویشی یکنواختی و همگنی لایه‌های رشد یافته را نشان می‌دهد. همچنین وجود دو نوع ذره با جهت‌گیری‌های (۱۱۱) و

## مراجع

1. L Ma, et al., *Applied Surface Science* **349** (2015) 740.
2. J -H. Yang, et al., *Semiconductor Science and Technology* **31** (2016) 083002.
3. M A Islam, et al., *IEEE Access* **8** (2020) 193560.
4. Y-T Zhang, J Song, and Q-F Sun, *Journal of Physics: Condensed Matter* **26** (2014) 085301.
5. L A Kosyachenko, et al., *Semiconductor Science and Technology* **27** (2011) 015007.
6. M Kokubun, et al, *Nuclear Instruments and Methods in Physics Research Section A* **623**, 1 (2010) 425.
7. L Ma, et al., *Journal of Alloys and Compounds* **828** (2020) 154406.
8. A Hochreiner, et al., *Applied Physics Letters* **98** (2011) 021106.
9. P Bartolo-Pérez, et al, *Surface and Coatings Technology* **155** (2002) 16.
10. J Ramiro, et al, *Thin Solid Films* **361** (2000) 65.
11. D Verma, A Ranga Rao, and V Dutta, *Solar Energy Materials and Solar Cells* **93** (2009) 1482.
12. V V Brus, et al., *Solar Energy* **112** (2015) 78.
13. Z M Nassar, M H Yükselici, and A A Bozkurt, *physica status solidi (b)* **253** (2016) 1104.
14. Z Chen, et al., *Langmuir* **29** (2013) 13836.
15. S Chander and M S Dhaka, *Journal of Materials Science: Materials in Electronics* **28** (2017) 6852.
16. A.N. Tiwari, et al., *Progress in Photovoltaics: Research and Applications* **12** (2004) 33.
17. M Kim, et al., *Current Applied Physics* **10** (2010) S455.
18. M A Aouaj, et al., *Materials Research Bulletin* **44** (2009) 1458.
19. J T Wang, et al., *Scientific Reports* **4** (2014) 3679.
20. S H Yoon and D-J Kim, *Journal of Crystal Growth* **303** (2007) 568.
21. K Ravichandran, et al., *Materials Research Innovations* **20** (2016) 187.
22. A L Patterson, *Physical Review* **56** (1939) 978.
23. G K Williamson and R E Smallman, *Philosophical Magazine* **1** (1956) 34.
24. G K Williamson and W H Hall, *Acta Metallurgica* **1** (1953) 22.
25. G B Harris, *The London, Edinburgh, and Dublin Philosophical Magazine and Journal of Science* **43** (1952) 113.
26. C M Randall and R D Rawcliffe, *Applied Optics* **7** (1968) 213.
27. H Abitan, H Bohr and P Buchhave, *Applied Optics* **47** (2008) 5354.
28. J Tauc, *Materials Research Bulletin* **3** (1968) 37.
29. E Hasani, et al., *Journal of Electronic Materials* **48** (2019) 4283.
30. A S Elmezayyen, et al., *Journal of Physics D: Applied Physics* **48** (2015) 175502.
31. E. Hasani, et al., *Journal of Electronic Materials* **49** (2020) 4134.
32. S Sandeep and K Dhananjaya, *IOP Conference Series: Materials Science and Engineering* **73** (2015) 012149.
33. W W Yu, et al., *Chemistry of Materials* **15** (2003) 2854.
34. K Punitha, et al., *Journal of Applied Physics* **116** (2014) 213502.
35. S Chander and M S Dhaka, *Physica E: Low-dimensional Systems and Nanostructures* **80** (2016) 62.
36. Z Chen, et al., *Optics Express* **26** (2018) 22123.